# 28 GHz 256素子タイリングフェーズドアレイアンテナモジュールの Over-The-Air評価

電子応用技術R&Dセンター 磊<sup>1</sup>・Fabrício Dourado<sup>2</sup>・東 海 林 孝 仁<sup>3</sup>・藤

# Over-The-Air Evaluation of 28 GHz 256-Element Tiling Phased Array Antenna Module

Lei Xu, Fabrício Dourado, T. Shoji and Y. Tojo

低遅延かつ高速でデータをリアルタイムに無線伝送できるミリ波は、第5世代移動通信システム(5G)への応用が期待 されている. 当社は, 5G通信向け用途として28 GHzフェーズドアレイアンテナモジュール (Phased Array Antenna Module: PAAM)「FutureAccess™」を開発している. 従来のPAAMに比べ出力を向上させたFutureAccess™ Type-C PAAMは、64素子、256素子ともにミリ波信号における高出力と高品質の両立を実現した、本稿では、OTA(Over-The-Air) 試験を通じて、64素子PAAM単体、およびタイル状に並べて256素子に拡大した場合の性能を検証した結果について報告 する.

Millimeter-wave based technology, capable of transmitting large amounts of data in real-time with low latency and high speed, is expected to play a significant role in the fifth-generation (5G) mobile communication systems. We are developing a 28 GHz band Phased Array Antenna Module (PAAM) | FutureAccess™ | for the 5G applications. Comparing to previous PAAM, 64-element and 256-element Type-C PAAM achieving a balance between high output power and high-quality millimeter-wave signals. In this paper, we report on the performance evaluation of a 64-element PAAM and a 256-element tiled Type-C PAAM through OTA (Over-The-Air) testing.

#### 1. まえがき

第5世代(5G)のネットワークは、既存の第4世代Long Term Evolutionのネットワークより、高速、大容量かつ 低遅延の通信が求められている. また、AIの発展に伴い、 データセンタなどで大容量データの高速通信需要が見込ま れており、無線通信においても同様に需要が高まる見込み である. このような無線通信の需要に対して. 5Gネット ワークではミリ波の活用が検討されている (図1). ミリ波 周波数帯は広い帯域幅を提供できるため、5Gネットワー クで要求される大容量通信を可能にする. しかし, ミリ波 の周波数帯は低周波数帯と比較して損失が大きく. カバ レッジ範囲が狭いという課題もある1,2).

5Gネットワークイメージ

Fig. 1. 5G network imaging.

このような高い損失による信号強度の減衰を克服するた めに、フェーズドアレイアンテナ (Phased Array Antenna) が用いられる. ミリ波は従来の無線周波数に対 して短波長であるため、アンテナ素子を小型に形成でき、 これらを平面に並べたアレイアンテナを小型の電子基板サ

<sup>5</sup>G NR Capacity Loss Coverage band mmWave Sub-6 GHz Low Band 5G NR mmWave 200m 5G NR Sub-6 GHz (191) 1km **5G NR Low Band** 

ミリ波デバイス研究部

Rohde & Schwarz GmbH & Co. KG Application Development Test and Measurement

ミリ波デバイス研究部

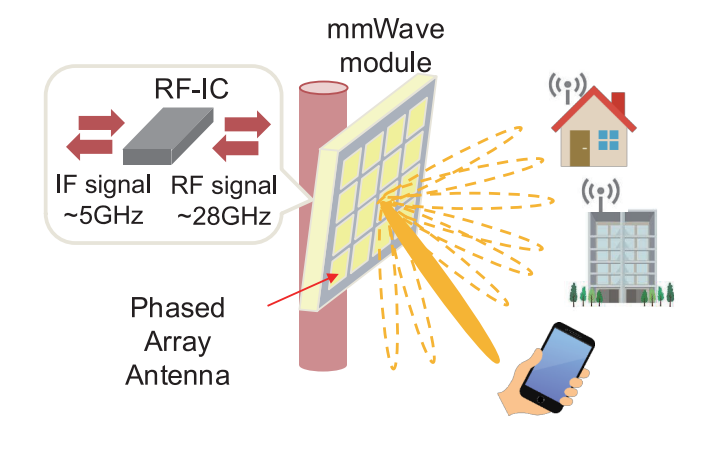
戦略センター 技術マーケティング部 博士 (工学)

| 略語・専門用語          | 正式表記                                      | 説 明  |  |  |
|------------------|---|--|--|--|
| 5G               | The fifth generation                      | 第5世代移動通信システム   |  |  |
|                  | mobile communication                      |  |  |  |
|                  | systems                                   |  |  |  |
| PAAM             | Phased Array                              | フェーズドアレイアンテナモジュール  |  |  |
|                  | Antenna Module                            |  |  |  |
| RF               | Radio Frequency                           | 無線周波数  |  |  |
| IF               | Intermediate                              | 中間周波数  |  |  |
|                  | Frequency                                 |  |  |  |
| BFIC             | Beam Former IC                            | 特定方向へのビームの送信/受信を行うIC   |  |  |
| FCIC             | Frequency Converter IC                    | IF信号とRF信号とを変換する周波数変換IC   |  |  |
| COMB-SPLIT       | Combiner / Splitter                       | RF信号を合成/分配するコンバイナ/スプリッタ  |  |  |
| BPF              | Band Pass Filter                          | 所望帯域以外の不要信号を抑制するフィルタ   |  |  |
| OTA試験            | Over-the-Air test                         | 空間を介して電波の送信/受信を行う測定  |  |  |
| ミリ波              | Millimeter wave                           | 波長が1-10 mm, 周波数が30-300 GHzの電磁波.  |  |  |
|                  |   | 5Gで利用される24.25-52.6 GHzの周波数帯を含む.  |  |  |
| ビームフォーミング        | Beam Forming                              | 所定方向の電波指向性を高める技術   |  |  |
| 基地局              | Base station                              | 無線局の種別の一つで、陸上移動局と通信するために上に開設する移動しない無線局   |  |  |
| FWA              | Fixed Wireless<br>Access                  | 固定無線アクセス   |  |  |
| リピーター            | Repeater                                  | 基地局からの電波を増幅する無線中継器   |  |  |
| RFIC             | Radio Frequency<br>Integrated Circuit     | 無線周波数IC  |  |  |
| 3GPP             | Third Generation Partnership Project      | 3G以降の移動体通信システムの標準規格の仕様の検討調整を行う各国標準化機関によるプロジェクト   |  |  |
| n257, n258, n261 | n257, n258, n261                          | 5G無線周波数帯のうち, n257 (26.50 - 29.50 GH<br>n258 (24.25 - 27.50 GHz), n261 (27.50<br>28.35 GHz) の帯域 |  |  |
| Tx               | Transmitter                               | 送信機  |  |  |
| Rx               | Receiver                                  | 受信機  |  |  |
| H pol. , V pol.  | H-polarization,<br>V-polarization         | 水平偏波, 垂直偏波   |  |  |
| EIRP             | Effective Isotropically<br>Radiated Power | 実効等方放射電力と定義され、指向性を有するアンテの、ある方向における放射と等価な放射電力を与える、<br>想的な等方性アンテナからの放射電力                         |  |  |

| ı | 略語・専門用語リスト              |   |  |
|---|-------------------------|---|--|
|   | 略語・専門用語                 | 正式表記  | 説 明  |
|   | ホーンアンテナ                 | Horn antenna                                    | 主に高周波で使用される四角錐や円錐状のアンテナであり、ゲインが既知であるため、測定時の標準としても用いられる.                        |
|   | FE                      | Front-End                                       | アンテナ側の送受信端の回路部分  |
|   | OFDM                    | Orthogonal Frequency<br>Division Multiplexing   | 直交周波数分割多重方式  |
|   | 帯域幅                     | Bandwidth                                       | 通信などに用いる周波数の範囲   |
|   | 256QAM                  | 256Quadrature<br>Amplitude Modulation           | 直交振幅変調の一つで、256値のシンボルを用いて一度<br>に8ビットを伝送できる方式                                    |
|   | 電波暗室                    | Electromagnetic anechoic chamber                | 外部からの電磁波の影響を受けず、かつ外部に電磁波を<br>漏らさず、さらに内部で電磁波が反射しないようにシー<br>ルドされた特殊な実験室          |
|   | HPBW                    | Half Power Beam<br>Width                        | アンテナ放射パターンのメインローブにおいて,信号電力がピーク値の半分(-3 dB) を示す点で測定される角度幅                        |
|   | CW                      | Continuous wave                                 | 連続波  |
|   | LO                      | Local oscillator                                | 局部発振器  |
|   | SG, VSG                 | Signal generator,<br>Vector signal<br>generator | 信号発生器,ベクトル信号発生器と呼ばれ、周波数·電力·<br>変調の電気信号を出力する電気計測器であり,無線機や受<br>信機の試験用信号源として用いられる |
|   | SA                      | Signal Analyzer                                 | シグナルアナライザと呼ばれ,入力信号がもつ個々の周波数成分に分離し,横軸は周波数,縦軸は強度を示す計測器であり,変調解析(信号解析)機能を有する       |
|   | Test model              | Test model                                      | 5G NR物理チャネルのセットアップを記述した定義済み<br>信号  |
|   | IMD                     | Intermodulation distortion                      | 相互変調歪と呼ばれ,非線形回路に複数の信号を加えた<br>場合に発生する歪  |
|   | EVM                     | Error Vector<br>Magnitude                       | 理想波形と計測波形の差を定量的に示す, デジタル変調信<br>号の品質の指標. 値が小さいほど信号品質が良好                         |
|   | ACLR                    | Adjacent Channel<br>Leakage Ratio               | 隣接チャネル漏洩電力比と呼ばれ,無線周波数上で隣接<br>チャネルへの不要な漏洩信号電力比                                  |
|   | CP                      | Cyclic Preflix                                  | マルチパス環境での信号信頼性向上のためのガード区間  |
|   | OTA beam switching time | Beam switching                                  | OTA測定上でのデジタル信号の入力からビーム方向変更<br>までの時間  |

| 略語・専門用語リスト                |                                   |   |  |  |  |
|---------------------------|-----------------------------------|---|--|--|--|
| 略語・専門用語                   | 正式表記                              | 説明  |  |  |  |
| Beam switchir periodicity | ng Beam switching periodicity     | 連続してビーム方向を切り替えられる周期   |  |  |  |
| 実時間遅延回路                   | The true-time-delay circuit       | 遅延線路を用いて位相変更する方式. 当社のBFICの移相器は遅延線路が分割されており, 各々の分割された線路のインダクタンスLとキャパシタンスCを変更することで,遅延量(位相量)を制御することが特徴.                            |  |  |  |
| DDPD                      | Direct Digital Pre-<br>Distortion | 入力信号に対して出力信号が線形となるように、補正値<br>をかける反復的なプロセス   |  |  |  |
| NTN                       | Non-Terrestrial<br>Network        | 人工衛星や無人航空機を利用して地上の通信基地局の範<br>囲外をカバーするネットワークシステム   |  |  |  |
| SCS                       | Sub-Carrier Spacing               | OFDM(直交周波数分割多重方式)などのマルチキャリア<br>伝送において、信号を伝送する個々のキャリアの間隔の<br>こと、FR2(28 GHz帯)の場合は、60kHz、120kHz、<br>240kHz(帯域幅400 MHzの場合のみ)となっている. |  |  |  |

イズに高密度に配置することが可能である. ビームフォーミングにより,送信および受信信号を特定の方向に動的に指向性を集中させ,カバレッジ範囲を拡大することができる. さらに,他の信号源からの干渉を抑制し,個々のアンテナ素子の位相と振幅を動的に調整することで,不要な信号を打ち消し,システム全体の性能を向上させることができる<sup>3</sup>.



**図2** ビームフォーミングイメージ Fig. 2. Beamforming imaging.

当社は、2019年からn257帯、n258帯、およびn261帯に 対応するフェーズドアレイアンテナモジュール(Phased Array Antenna Module)(以下PAAMと呼称)の開発に 着手した、図2のように、PAAMは、高品質の信号出力、 高速のビーム切り替え、高精度のビームコントロールなど の特徴をもち、5Gの基地局、FWA、リピーターとして活 用できる。現在、第二世代の開発品(Type-C PAAM)<sup>4</sup> の提供を開始している。

本稿では、FutureAccess™ Type-C PAAMのOver-The-Air (OTA) 試験による性能評価結果について報告する.

#### 2. 概要

図3 (a) はType-C PAAMのアンテナ面を示している. モジュールの外形寸法は $4.25~{\rm cm} \times 4.25~{\rm cm}$ であり、 $3{\rm GPP}$ で定義された ${\rm n}257$ 帯( $26.50-29.50~{\rm GHz}$ )、 ${\rm n}258$ 帯( $24.25-27.50~{\rm GHz}$ )、 ${\rm n}261$ 帯( $27.50-28.35~{\rm GHz}$ )にて動作可能である. アンテナ部は磁気電気ダイポールアンテナ $^{50}$ を採用し、 $8\times8064$ 素子で構成され、水平偏波( ${\rm H}~{\rm pol.}$ )および垂直偏波( ${\rm V}~{\rm pol.}$ )の送受信が可能である.  ${\rm n}257$ 帯向けと  ${\rm n}258$ 帯向けの2種類の製品を開発し、それぞれ約 ${\rm 3}{\rm GHz}$ の広 帯域をカバーしている.

図3(b)はType-C PAAMの裏面を示している。モジュー

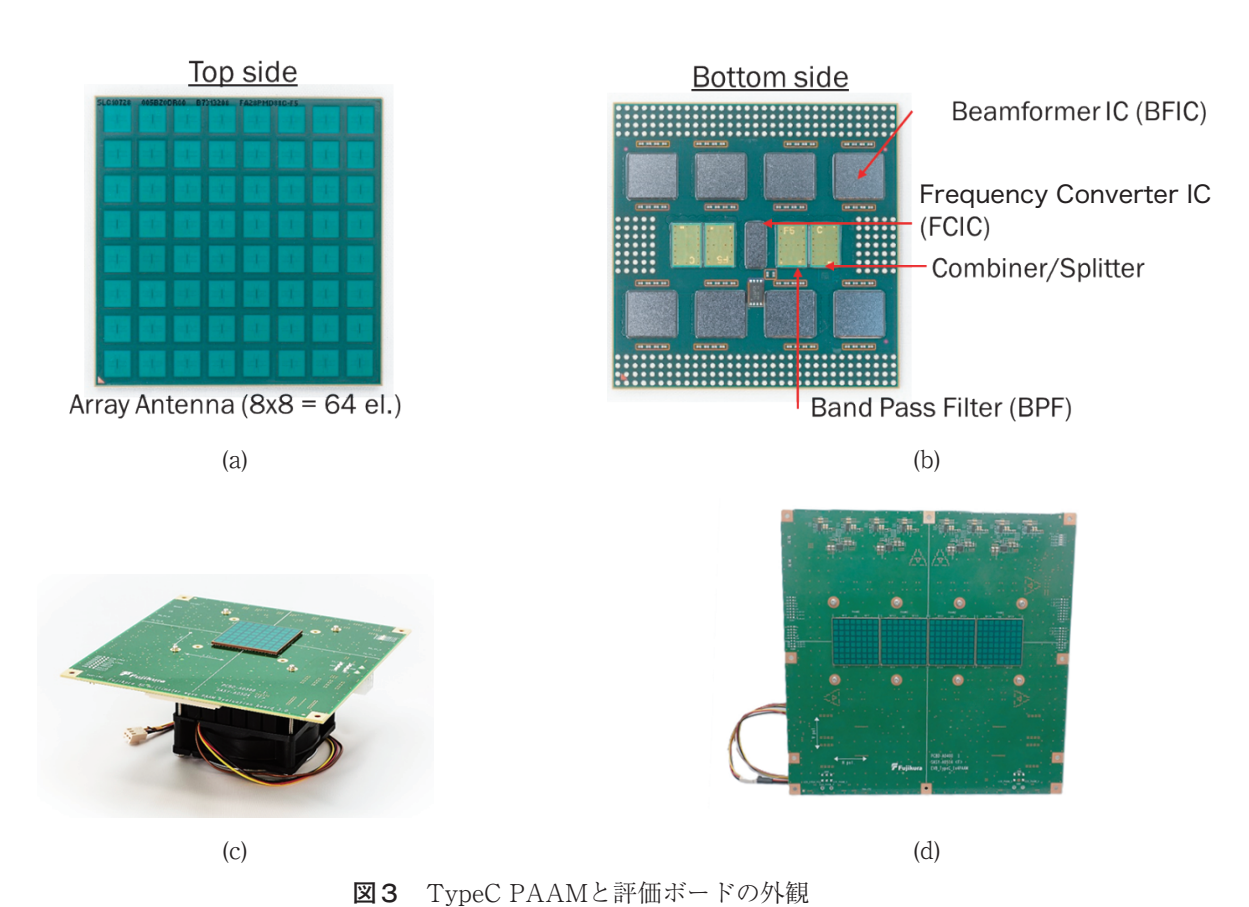


Fig. 3. Appearance of Type-C PAAM and Evaluation Board.

ル中央には1つのFCIC(Frequency Converter IC)が配置されており、PAAMに入出力される中間周波数(Intermediate Frequency、IF)信号と無線周波数(Radio Frequency、RF)信号とを相互変換する役割を果たす。また、FCICによる周波数変換で発生した不要信号を除去するため、FCICの左右に1つずつBPF(Band Pass Filter)が実装されている。さらに、フィルタリングされたRF信号を合成/分配するCombiner/SplitterがBPFの両側に配置されている。BFIC(Beamformer IC)は8つ搭載されている。それぞれのBFICには、移相器や可変利得増幅器などのフロントエンドが1偏波あたり8個ずつ(合計16個)構成されており、RF信号の位相と振幅の制御を行う。

PAAMは、1つのフロントエンドがアレイアンテナ1素子と接続され、8個のBFICと合計64素子のアレイアンテナで構成される。それぞれが移相器や可変利得増幅器を内蔵しており、RF信号のビームフォーミングを行う。

図3 (c) はType-C PAAMを搭載した評価ボードを示している。このボードには降圧DCDCコンバータが搭載されており、12Vの入力電圧から1.2V、1.5V、1.8V、2.7Vを生成して基板内部に供給している。また、FCIC→BPF→Combiner/Splitter→BFIC→アンテナまでの配線経路を各フロントエンドごとに等長に設計することで、各アンテ

ナ間の位相のばらつきを最小限に抑えている。また、当社の開発したBFICでは、移相器として実時間遅延回路を用いており、位相に対する振幅変動が極めて小さい。これらの設計により、PAAMは、位相のキャリブレーションなしでも高精度のビームフォーミング制御が可能である。

図3 (d) は4台のType-C PAAMを横一列にタイリングした評価ボードを示している。この構成により、ICを4倍に増やしただけでなく、アンテナ数を増加させて指向性を高めることで、電力密度を16倍に向上させることができ、より長距離の伝送に適している。

## 2. 1 伝送速度の試算

伝送速度は、下記の式(1)<sup>6)</sup>で理論的に計算できる.

Data rate [bps] =

 $\rm N_{mimo} \times N_{mod} \times f \quad \times \quad R_{max} \times \ (N_{RB} \times 12/\ T_{symbol}) \ \times \ (1-R_{OH}) \times R_{DL/UL} \ (1)$ 

ただし、 $N_{mimo}$ : 最大MIMOレイヤ数  $N_{mod}$ : 変調シンボルあたりのビット数

f:スケーリングファクタ(ここでは1)  $R_{max}$ :最大符 号化率 NRB:1コンポーネントキャリア (CC) あたりの リソースブロック

 $T_{\text{symbol}}$ : 10FDMシンボルあたりの時間長  $R_{\text{OH}}$ : 無線フレームあたりのオーバヘッド率(ミリ波は0.2)  $R_{\text{DL/IIL}}$ : TDDのUL/DLの割当て比率

例えば、帯域幅400 MHz、64QAM OFDMのミリ波信号の場合、64素子PAAM単体(MIMOレイヤ2)の伝送速度は2.52 Gbpsである。

複数のPAAMを用いれば、より高速なデータ伝送を実現できる。4台のPAAMを独立に動作させた場合(MIMOレイヤ8)の伝送速度は10.08 Gbpsである。

#### 2. 2 試験環境

試験環境は、図4 (a) に示すように、大型電波暗室内に構築されている。暗室の内部は全面がミリ波対応の電波吸収材、遮蔽材で覆われており、反射波を十分に減衰させることができる。暗室内の一方に、PAAM評価ボードを二軸回転台上に設置し、PAAMの対向に、ホーンアンテナを設置した。必要な装置はPAAMまたはホーンアンテナの近くに置き、暗室の扉を閉めて完全に密閉した状態で試験を行う。装置類の操作は暗室外からリモートで行う。

#### 2. 2. 1 連続波での基礎特性評価

図4 (b) に示すOTAブロック図の通り,連続波 (Continuous Wave, CW) を用いてPAAMの基礎特性を評価した.信号発生器 (SG) としてR&S® SMW200Bを用い,PAAMへのLO信号入力を行った.

また、ベクトル信号発生器 (VSG) として、R&S®SMW200A を用い、PAAMへのIF信号入力を行った。

PAAM内部で処理されたミリ波のRF信号は空間に放射される。空間を伝搬したRF信号は反対側のホーンアンテナで受信され、シグナル・スペクトラム・アナライザ

(R&S® FSW) を使ってRF信号の強度を評価する. 本評価では、FSWで取得した電波強度を基に、Friis伝達公式<sup>7)</sup>を変形し、下記の式 (4) を用いて実効等方放射電力 (Effective Isotopically Radiated Power, EIRP) に換算し、各方向の放射強度を評価した.

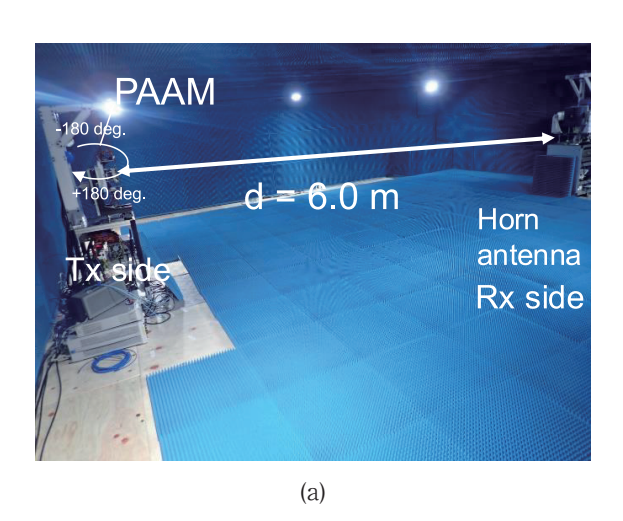
EIRP  $(dBm) = P_R (dBm) - Ls (dB) - G_M (dBi) + FSPL (dB) (4)$ 

ただし、 $P_R$ : FSWで計測した電波強度、Ls: ホーンアンテナに接続した同軸ケーブル損失、 $G_M$ : ホーンアンテナ利得 FSPL: 自由空間伝搬損失

#### 2. 2. 2 変調信号での信号品質評価

3GPPに規定された変調信号<sup>8)</sup> (Test model 3.1a, Test model 1.1) を用いてEVM (Error Vector Magnitude) と ACLR (Adjacent Channel Leakage Ratio) の測定を行い, 信号の品質を評価した. EVMは, 実測した信号と理想信号とのベクトル差から算出され, %として表示され, EVMが低いほど信号の品質が良いとされる. Type-C PAAMでは、BFICとFCICのレベルダイヤを最適化し, 信号の非線形特性を改善したことで、良好なEVMとACLR 特性を得られた.

5G NRではOFDMが採用されている。ICの増幅性能によっては、OFDMの振幅方向のひずみが相互変調(IMD)によって雑音となり、EVMが悪化しやすくなる。また、ACLRの劣化も顕著になる。3GPPでは、EVMとACLRをそれぞれTM3.1aとTM1.1の信号で測定することが規定されており、EVMは4.5%以下、ACLRは-25.7 dBc以下と定められている<sup>8)</sup>.



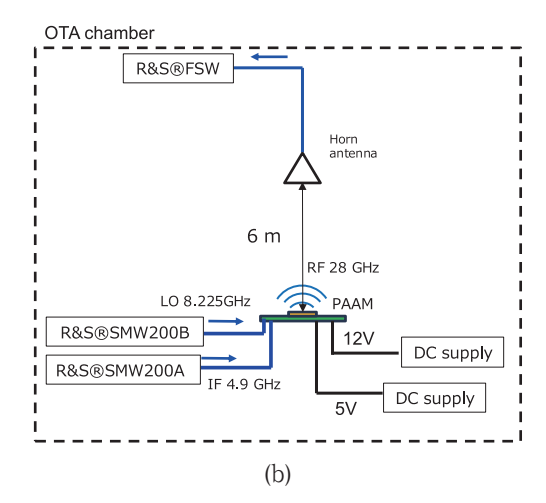


図4 試験環境及び測定ブロック図

Fig. 4. Test environment and measurement block diagram.

# 2. 2. 3 ビーム立ち上がり及び切り替え時間の確認

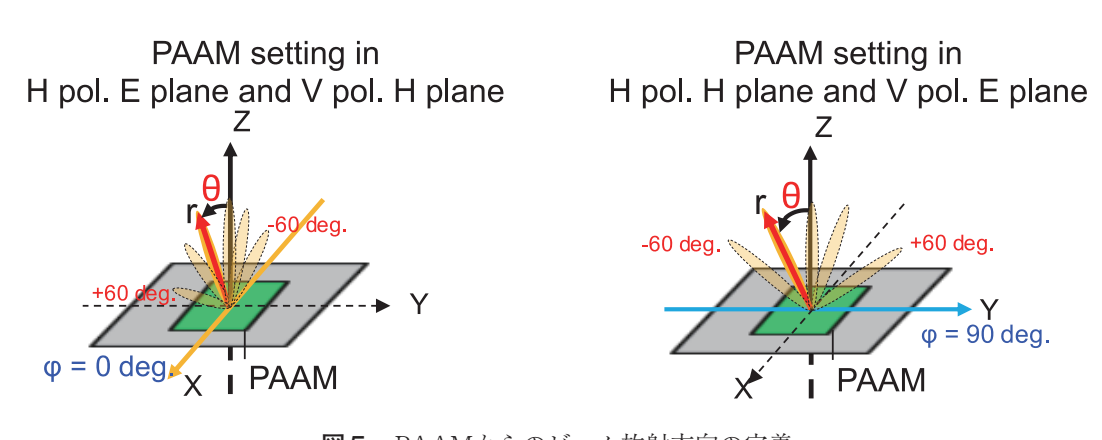
大容量の情報を確実に複数の端末へ届けるためには、高速なビームスイッチングが必要不可欠となる。サイクリックプレフィックス(CP)は、5GNR OFDMデータフレームのシンボル間に存在するもので、240 kHzのサブキャリア間隔(SCS)を使用する場合、その時間は $0.29~\mu s^{9}$ と非常に短い。また、ビーム切り替えは、CPの80~%以内 $^{10}$ で行うことが要求されている。PAAMでは、ICへのデジタル信号指示に要する時間を含むビーム切り替え時間をオシロスコープ(R&S $^{\$}$  RTP)で確認した。

## 3. 試験結果

## 3. 1 64素子Type-C PAAMの結果

# 3. 1. 1 64素子PAAMのビームパターン

試験にて使用したLO、IFの周波数は、それぞれ8.225 GHz、4.9 GHzであり、RF信号は28 GHzである。PAAM からのビームは水平偏波(H pol.)、垂直偏波(V pol.)であり、ホーンアンテナの電界面(E plane)、磁界面(H plane)に対して、PAAMからのビーム放射方向 $\theta$ を図5のように定義する。 $\theta$ を $\theta$ 0°の範囲で15°間隔で設定し、取得したビームパターンを図6(a)-(d)に示す。



**図5** PAAMからのビーム放射方向の定義 Fig. 5. Definition of beam direction from PAAM.

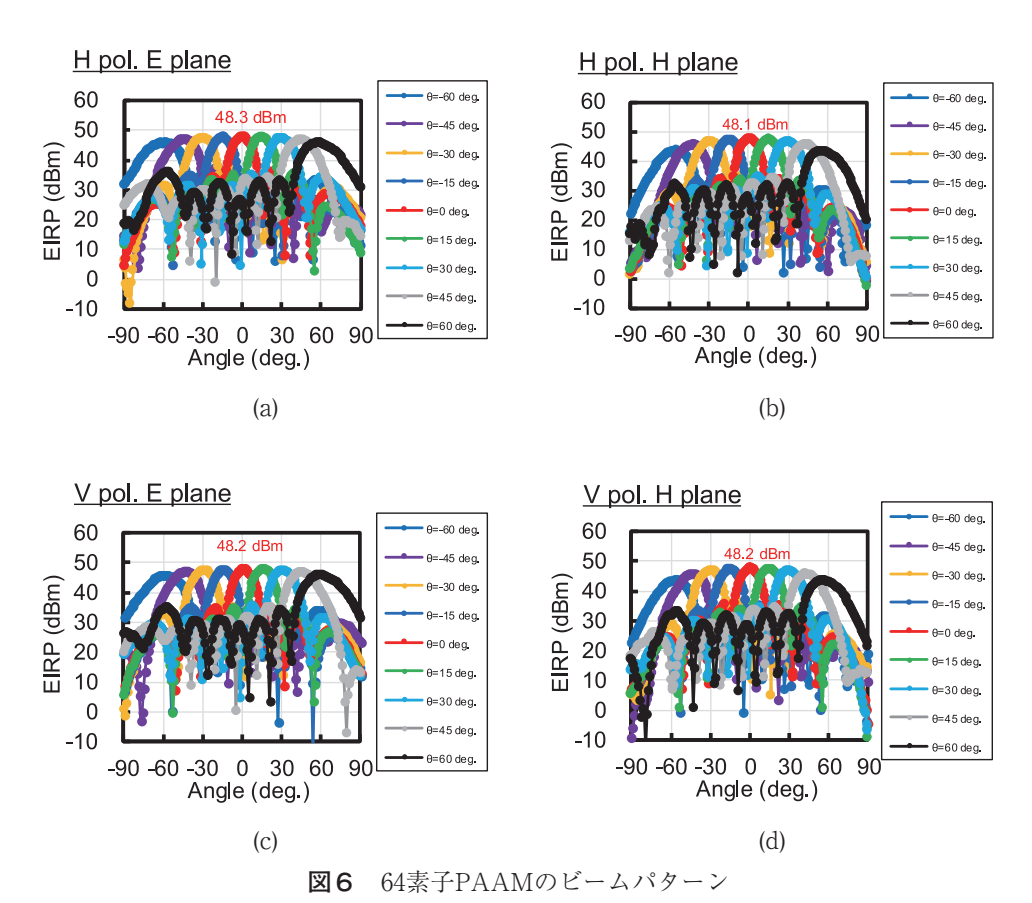


Fig. 6. Beam pattern with 64 elements PAAM.

それぞれの測定では、PAAMを載せている回転台を-90°~90°の範囲で1°ステップずつ動かしながら、ホーンアンテナに接続したシグナル・スペクトラム・アナライザで表示されたRF信号の強度を読み取り、ビームパターン形状を描画した。一般的に、各アレイごとに位相のキャリブレーションを実施しない場合、各アンテナ素子間の位相ばらつきが大きく、理論計算で予測されるパターンとは異なる。一方で、当社の開発したPAAMは、H pol.、V pol. の各偏波において、位相のキャリブレーションなしでも十分な方向精度を示すビーム形状を確認した。

#### 3. 1. 2 64素子PAAMのEVM&ACLR

EVM, ACLRの試験は、それぞれ3GPPに定められた Test model 3.1aとTest model 1.1のテスト信号を用いて実施した。PAAMのEIRPに対するEVMとACLRのバスタブ曲線を図7に示す<sup>13)</sup>. 従来の開発品Type-B PAAMと比べて、Type-C PAAMのEVMは、帯域幅100 MHzの場合ではEIRP 48 dBmの条件で4.1%から2.3%まで、8CC×100 MHzの場合では7.9%から3.8%まで大幅に改善できることを確認した。いずれも3GPPの規格値4.5%を満たしている。また、ACLRも同様に、帯域幅100 MHzの場合では-30.2 dBcから-33.5 dBcまで、帯域幅8CC×100 MHzの場合では-20.3 dBcから-29.5 dBcまで改善し、3GPP規格の-25.7 dBcに対して十分なマージンを有する。

#### 3. 2 256素子タイリングType-C PAAMの結果

#### 3. 2. 1 256素子PAAMの出力確認

図8にPAAMタイリングのコンセプトを示す. 図8 (a) のように、4台のPAAMを横一列に並べて256素子の評価ボードを作成することができる. 図8 (b) はアンテナ結合のイメージを示しており、PAAMのタイリング数を増やすことで、ビーム幅は小さく、ビーム強度は大きくなる. 図9 (a) はアクティブな素子数とEIRPの関係を示しており、8×8素子のEIRPは49.1 dBmであったのに対し、8×16素子のEIRPは55.1 dBm、 $16\times16$ 素子のEIRPは60.2 dBmまで増加する. 64素子から256素子へ増加することで得られるビームの結合利得は、理論上、 $20\times\log10$ (256/64)= 12 dBである.

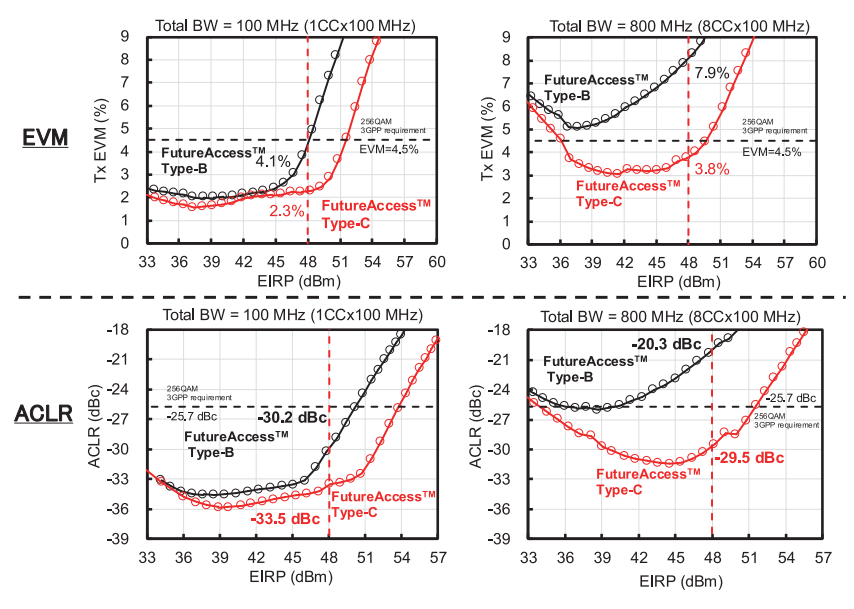
実験で得られた結合利得は11.1 dBであり、これは理論値と大きく矛盾せず、十分にビーム結合できていることを示す。

また、図9 (b) はアクティブな素子数とビーム半値幅 (HPBW) との関係を示す、素子数の増加とともにビーム 幅が小さくなり、半値幅 (HPBW) は64素子の12.1°に対して256素子は3.0°となる。

# 3. 2. 2 256素子PAAMのビームパターン

256素子のビームパターンを図10に示す. すべてのビームパターンは、キャリブレーションなしで測定されたものである. H pol., V pol.ともに、良好な形状を確認している.  $\theta = \pm 60^{\circ}$ の範囲にて、サイドローブレベルは、メインローブの強度比にて11 dBc以上を示す.

また、 $\pm 60^{\circ}$ の各方向におけるメインローブの最大EIRPの変化は、4 dB以下である.

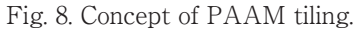


**図7** 64素子PAAMのEVM&ACLR

Fig. 7. EVM&ACLR results with 64 elements PAAM.

# FutureAccess<sup>TM</sup> Type-C 1x4 tilling 4PAAM EIRP = 54 dBm HPBW = 6 deg. EIRP = 48 dBm HPBW = 12 deg. 128 elements 256 elements

図8 PAAMタイリングのコンセプト



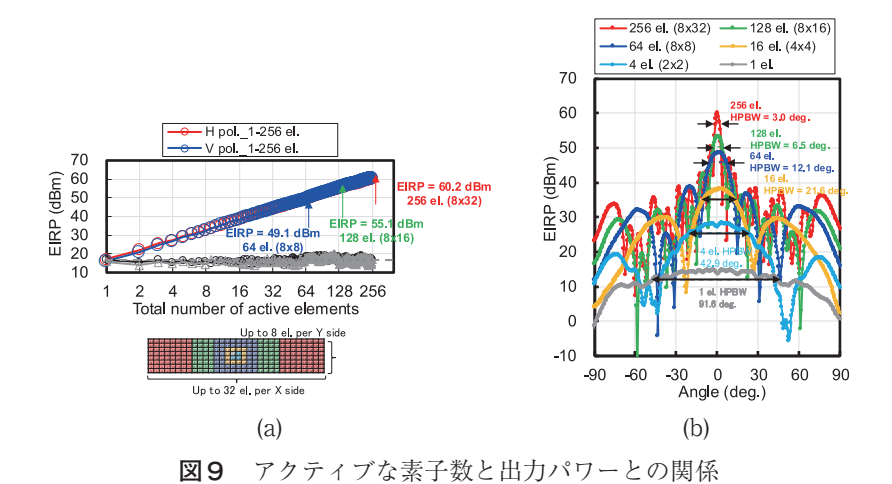


Fig. 9. Relationship between active elements and output power.

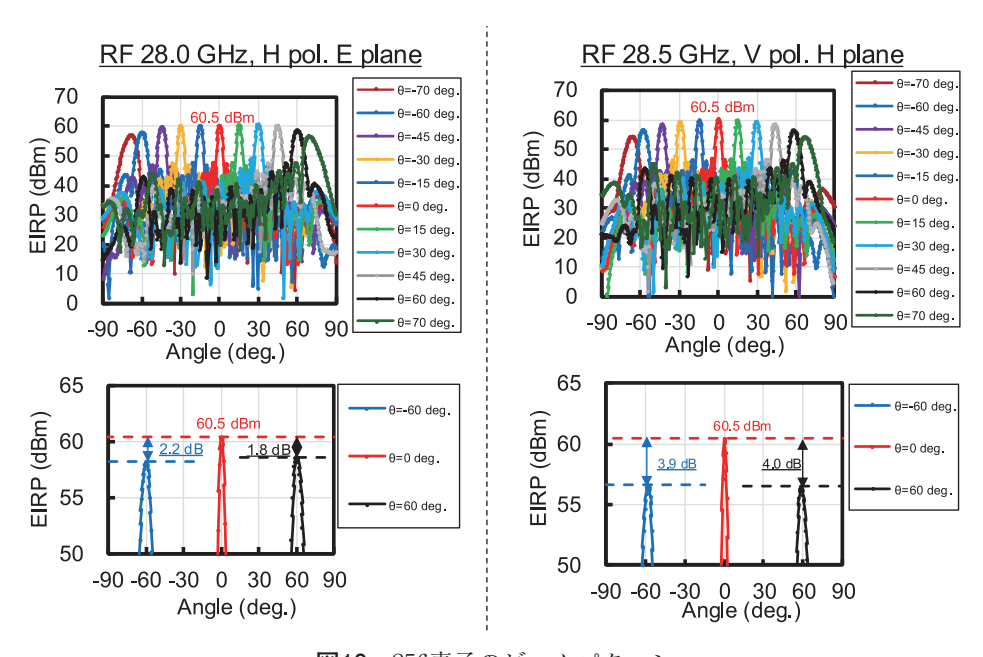


図10 256素子のビームパターン

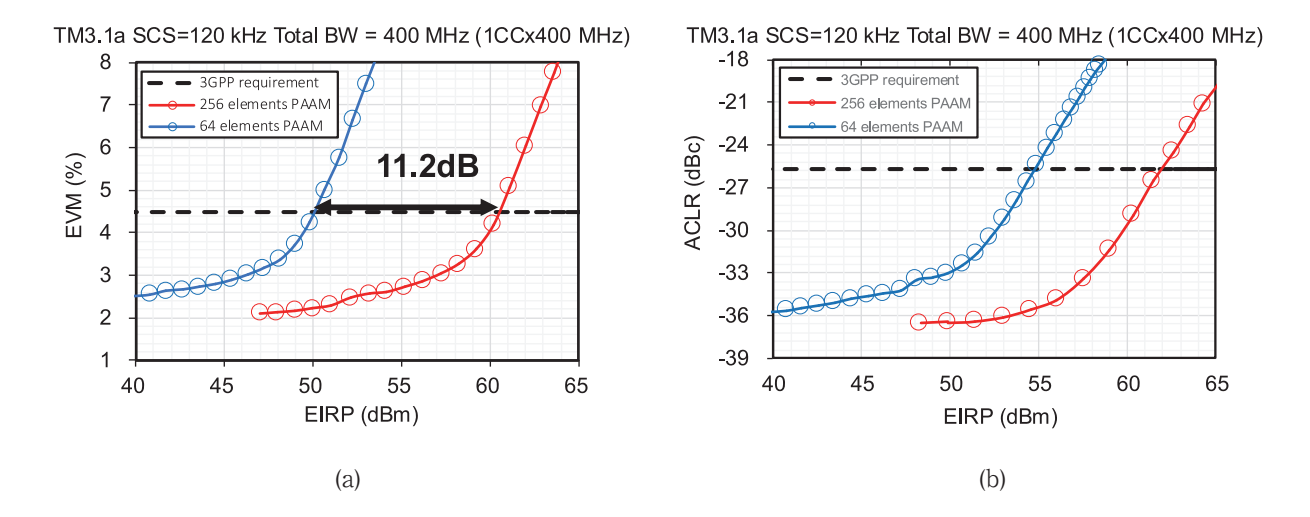
Fig. 10. Beam pattern of 256 elements.

# 3. 2. 3 256素子PAAMのEVM&ACLR

図11 (a) に、EIRPに対するEVMのバスタブ曲線を示す. EVM 4.5 %の条件でのEIRPは、64素子のType-C PAAM と比べて11.2 dB増加したことを確認した.

ここで、タイリングによるEVMのバスタブ曲線の傾向 は顕著な変化は見られず、信号品質の劣化は見られない.

図11 (b) に、EIRPに対するACLRのバスタブ曲線を示す. EIRP 60 dBmの条件でのACLRは-29 dBcであり、3GPP規格の-25.7 dBcより3 dBほどのマージンがある. 図12に、ビーム放射方向を±60°の範囲に設定した場合のEVMのバスタブ曲線を示す。いずれのビーム放射方向において、位相のキャリブレーションを実施しなくてもキャリブレーション済みの場合と同等な特性を得られることを確認した。



**図11** 64, 256素子PAAMのEVM&ACLRの比較

Fig. 11. EVM&ACLR comparison of 64 and 256 elements PAAM.

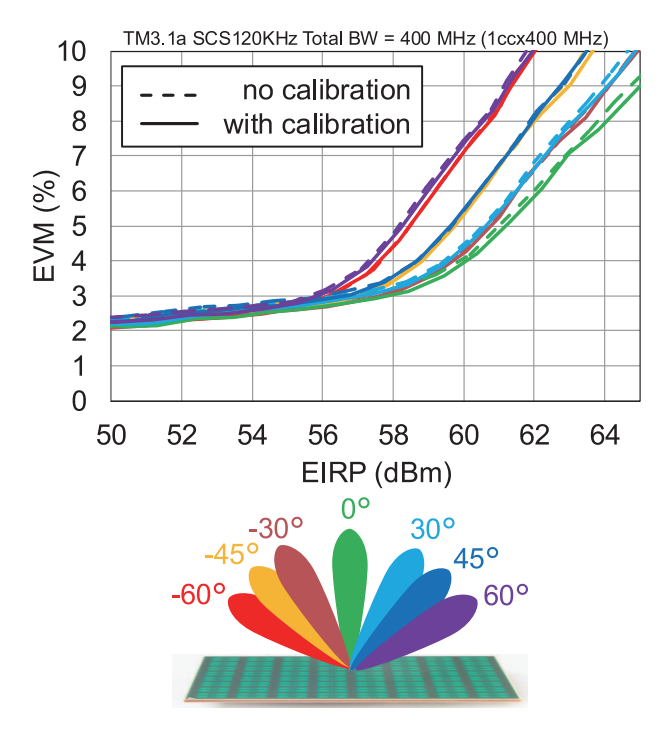


図12 各ビーム放射方向におけるEVM Fig. 12. EVM for each beam directions.

#### 3. 2. 4 256素子PAAMのひずみの原因推定

本節では、帯域幅800 MHz(8CC×100 MHz)における 解析結果を示す。

R&S® FSW-K18<sup>15)</sup> を使用して、ひずみの原因を推定した。一般的に、周波数応答、雑音(熱雑音、位相雑音)および非線形性<sup>16,17)</sup> がEVMに影響を与えるひずみ要因と考えられている。図13の曲線は、イコライズしていない(生データ)EVMの平均二乗誤差(MSE)に対するこれらの要因の寄与率をサンプルごとに測定した結果を示す。EIRPが60 dBm未満の場合、256素子PAAMの非線形ひずみは非常に低く、EVMに影響を与える主な要因は振幅および位相の周波数応答に起因することがわかる。これらの結果は、256素子PAAMが非常に低い位相雑音および非線形性を有していることを示唆している。

#### 3. 2. 5 DDPDによるEVM&ACLR

デジタルプリディストーション(DPD)は、非線形領域で動作するパワーアンプ(PA)の出力信号を線形化するための一般的な手法である<sup>18</sup>. 線形化は通常、モデルの作成が必須だが、R&S® FSW-K18D Direct DPD(DDPD)<sup>19)</sup> を使用することで、モデル作成を必要とせず、複雑な周波数変換を伴うRFフロントエンド(RFFE)をOTAテストで線形化することが可能である。実用的な観点から見ると、DDPDを適用することで、理想的なキャリブレーションおよび線形化条件下でPAAMの性能を検証することができる。

図14は、R&S® SMW-K555拡張帯域幅と組み合わせた4.8 Gsps DDPDの有無による256素子のEVMおよびACLRを示す。DDPDを適用することで、EIRPが60 dBmの場合、PAAMのEVMは2 %未満に、ACLRは-40 dBc未満にそれぞれ大幅に改善された。このようなアプローチにより、PAAMをさらに高い電力効率で動作させることが可能となり、商業展開への道を広げられる。

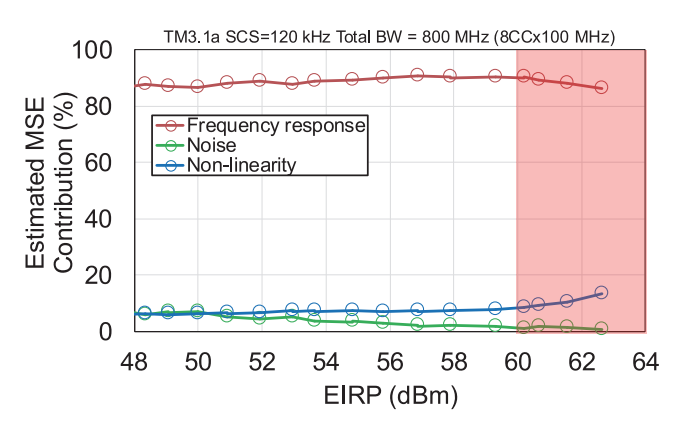


図13 256素子PAAMのひずみの原因推定

Fig. 13. Estimation of source distortion in 256 elements PAAM.

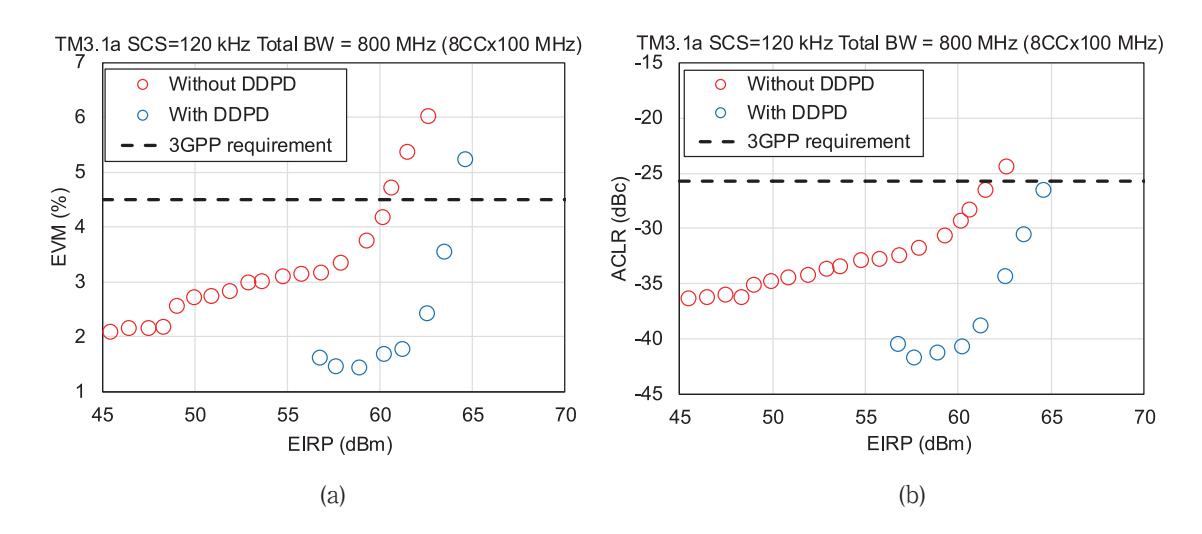


図14 4.8 Gsps DPDDによる256素子PAAMのEVM&ACLR Fig. 14. EVM&ACLR on 256 elements PAAM w/wo 4.8 Gsps DDPD.

#### 3. 2. 6 高速ビームスイッチング

ビーム方向切り替え時間を観測するため、PAAMから 送信された28 GHzのRF信号をIF信号へ周波数変換し、オ シロスコープ (R&S® RTP) にて解析した. PAAMより 出力されるビームの方向を $\theta = 0^{\circ}$ と $\theta = 60^{\circ}$ とで交互に 切り替えて制御し、正面方向のビーム強度をホーンアンテ ナで測定した。ビーム方向 $\theta = 0$ のときにはホーンアン テナへの入力パワーが増加するため、オシロスコープにて 観察した信号の振幅は最大となる. 一方, ビーム方向 $\theta$  = 60°のときにはホーンアンテナへの入力パワーが著しく減 少するため、オシロスコープにて観察した信号の振幅は最 小となる. 図15にオシロスコープの測定結果を示し<sup>20)</sup>, ビー ムスイッチング時間 (Beam switching periodicity) はア ナログ回路の遅延および制御時間を含んで160 nsである. 要求されるビームスイッチング時間はCPの80%以下であ り, SCS = 240 kHzの場合は234 nsなので, 試験で確認し たビームスイッチング時間160 nsは上記要求を満たす. ま た、ビーム方向の変更に要する時間 (OTA beam switching time) は5.4 nsであり, 既報の8 ns 4 と整合する.

# 4. 他社フェーズドアレイアンテナモジュールとの 性能比較

表1は他社から公開されているシリコンベースのフェーズドアレイアンテナモジュールの報告値<sup>21-26)</sup> との比較を示す. 当社の開発したPAAMの主要な特長は下記の通りである.

- θ = ±60° の範囲でH pol., V pol. の両偏波において, 良好なビームフォーミングが可能
- 位相のキャリブレーションなしでも良好な動作
- PAAMのタイリングにより、大きなアンテナアレイを 実現可能
- 64素子PAAMの線形範囲出力はEIRP = 48 dBmであり、
   256素子では、EIRP = 60 dBmである
- PAAMの線形出力範囲のEVM、ACLRは、3GPP規定の 4.5%、-25.7 dBc<sup>8)</sup> を満たす
- ・帯域幅800 MHzの広帯域信号でも、EIRP = 60 dBmに おいて、EVM≤4.5%、ACLR ≤ -25.7 dBcを示す。
- ビームスイッチング時間は< 220 ns, サポートするビー ム方向の数> 20,000



図15 256素子PAAMのビームスイッチング時間

Fig. 15. Beam switching time with 256 elements PAAM.

# 28GHz帯256素子タイリングフェーズドアレイアンテナモジュールのOver-The-Air評価

# 表1 FutureAccess™ Type-C PAAMの仕様概要と他社の報告値との比較<sup>21-26)</sup>

Table 1. Comparison of overviews of Future Access  $^{\text{\tiny TM}}$  Type-C specification and reported values of other companies  $^{21-26)}$ 

| Reported society and groups          | This work                    | ISSCC2017<br>JSSC2017,<br>IBM<br>/Ericsson <sup>21)</sup> | IMS2018,<br>Qualcomm <sup>22)</sup> | SCIS2022,<br>Xphased<br>Technology <sup>23)</sup> | TMTT2021,<br>UESTC <sup>24)</sup> | TMTT2023,<br>HUST <sup>25)</sup> | IMSD2022,<br>UCSD <sup>26)</sup>                   |  |  |
|--------------------------------------|------------------------------|---|-------------------------------------|---|-----------------------------------|----------------------------------|--|--|--|
| Chip performance comparison          |                              |   |                                     |   |                                   |                                  |  |  |  |
| IC<br>Technology                     | 130 nm SiGe<br>BiCMOS        | 130 nm SiGe<br>BiCMOS                                     | 28 nm RF<br>CMOS                    | 65 nm RF<br>CMOS                                  | 180 nm SiGe<br>BiCMOS             | 180 nm SiGe<br>BiCMOS            | 180 nm SiGe<br>BiCMOS                              |  |  |
| Unit IC<br>number of<br>elements     | 2×8 TRX                      | 2x16 TRX  | 24 TRX                              | 2x2 TRX   | 2x2 TRX                           | 8 x 4 TRX                        | 2 x 8 TRX  |  |  |
| Unit tile<br>module array<br>size    | 64,<br>Dual Pol.             | 64,<br>Dual Pol.  | _                                   | 128,<br>Dual Pol.                                 | 64,<br>Single Pol.                | 32,<br>Single Pol.               | 64,<br>Single Pol.                                 |  |  |
| Scaled tiles<br>module array<br>size | 256,<br>Dual Pol.            | _   | 256,<br>Dual Pol.                   | _   | _                                 | _                                | _  |  |  |
| RF frequency (GHz)                   | 24.25-29.5                   | 27-28.5   | 26.5-29.5                           | 24.25-29.5  | 23.5-29.5                         | 26-28.5                          | 16-50.5  |  |  |
| IF frequency (GHz)                   | 4.3-5.5                      | 3   | 6.5                                 | _   | _                                 | _                                | _  |  |  |
| 5G NR band<br>support                | Yes<br>(n257, n258,<br>n261) | Yes<br>(n261)   | Yes<br>(n257, n261)                 | Yes<br>(n257, n258,<br>n261)                      | Yes<br>(n257, n258,<br>n261)      | Yes<br>(n257)                    | Yes<br>(n257,<br>n258,n259,<br>n260,n261,<br>n262) |  |  |
| Tx OP1dB<br>(dBm)                    | 18                           |   | _                                   | 16.8  | 15-16                             | 10                               | 13.5-14.7  |  |  |
| Rx NF (dB)                           | 4                            |   | _                                   | 5.5   | 5.5                               | 5.5                              | 6.2  |  |  |
| Reported society and groups          | This work                    | ISSCC2017<br>JSSC2017,<br>IBM<br>/Ericsson <sup>21)</sup> | IMS2018,<br>Qualcomm <sup>22)</sup> | SCIS2022,<br>Xphased<br>Technology <sup>23)</sup> | TMTT2021,<br>UESTC <sup>24)</sup> | TMTT2023,<br>HUST <sup>25)</sup> | IMSD2022,<br>UCSD <sup>26)</sup>                   |  |  |

| Phased array antenna performance comparison |  |                               |   |   |  |   |  |
|---|--|-------------------------------|---|---|--|---|--|
| TX EIRP @<br>PldB(dBm)                      | 56 (64Tx)<br>68 (256Tx)                                      | 54 at P <sub>sat</sub> (64Tx) | 35 at P <sub>sat</sub> (8TX) 64 at P <sub>sat</sub> (256Tx) | 47.7 (128Tx)                                      | 54.8 (64Tx)  | 39 (32Tx)   | 64 (64Tx)  |
| TX and RX beam scan range (deg.)            | $AZ \pm 60$<br>$EL \pm 60$                                   | AZ ±50<br>EL ±50              | AZ ±45<br>EL ±45  | AZ ±60<br>EL ±60                                  | AZ ±60   | AZ ±55  | AZ ±60   |
| Tx EVM (%)                                  | ≤4.5% at<br>EIRP 60 dBm<br>(256Tx), 400<br>MHz<br>bandwidth  | _                             | -25 dB (5.6%)<br>at EIRP 56<br>dBm, 400<br>MHz<br>bandwidth | 5.6% at EIRP<br>52.5 dBm, 400<br>MHz<br>bandwidth | -26 dB (5.0%)<br>at EIRP 47<br>dBm,<br>200MHz<br>bandwidth | 3%<br>at 36 dBm<br>EIRP with 64<br>QAM, 200<br>MHz<br>bandwidth | 2.90%<br>at 36 dBm<br>EIRP with 64<br>QAM,<br>400 MHz<br>bandwidth |
| ACLR (dBc)                                  | ≦-30 dBc at<br>EIRP<br>60(256Tx)<br>dBm, 400MHz<br>bandwidth | _                             | _   | _   | _  | _   | _  |
| Num. of beams                               | > 20,000<br>(beam_calc<br>mode)                              | 128                           | _   | _   | _  | _   | _  |
| supported for<br>fast beam-<br>switching    | 2048<br>(beam table<br>mode)                                 | _                             | _   | _   | _  | _   | _  |
| OTA beam switching time (ns)                | <8   | 4                             | _   | _   | _  | _   | _  |
| Beam-<br>switching<br>periodicity<br>(ns)   | < 220<br>(including<br>control time)                         | _                             | _   | _   | _  | _   |  |

# 5. むすび

5G通信向けの高出力PAAMを開発した. Over-The-Air 試験を通じて、キャリブレーションなしでも安定した放射パターンを得られることを確認した. また、64素子のPAAMをタイリングして配置することで、出力をさらに向上させるとともに、優れた変調特性を実現できることも確認した.

ミリ波無線基地局にてMIMOが求められるため、マルチビームの送受信特性を評価し、実環境に近い条件下で性能を検証する予定である。また、地上局だけでなく、非地上系ネットワーク(NTN: Non-Terrestrial Network)への適応性にも注目し、温度特性や円偏波特性などの評価を行う計画である。

## 参考文献

- 1) Fujikura Ltd., "28 GHz Fujikura's state-of-the-art 5G Phased Array Antenna Module: FutureAccess™", https://mmwavetech.fujikura.jp/5g/ (Viewed on 19th Mar., 2025)
- S. Pramono et al., "Design and Challenges on mmWave Antennas: A Comprehesive Review", E3S Web of Conferences 465, 02067, 2023.
- 3) A. K. Pandey, "Phased Array Antenna with Beamforming Network", Proceedings of the 50th European Microwave Conference.
- 4) 株式会社フジクラ: 「5G ミリ波 フェーズドアレイアンテナ」, ホワイトペーパー, https://mmwavetech.fujikura.jp/ja/(2025年2月1日閲覧).

- 5) B. Sadhu et al., "A 24-to-30GHz 256-Element Dual-Polarized 5G Phased Array with Fast Beam- Switching Support for >30,000 Beams", ISSCC, February. 2022.
- 6) 新世代モバイル通信システム委員会:「新世代モバイル 通信システムに関する技術的条件」のうち「第5世代移 動通信システム(5G)の技術的条件」,資料9-1,情報通 信審議会情報通信技術分科会新世代モバイル通信システ ム委員会報告概要(案).
- 7) H.T. Friis "A Note on a Simple Transmission Formula". Proc. IRE, vol. 34, no. 5, pp 254–256, May, 1946.
- 8) 3GPP TS 38.141-2 V17.15.0, Base Station (BS) Conformance Testing, Part 2: Radiated Conformance Testing, Sep. 2024.
- S. Ahmadi, 5G NR: Architecture, Technology, Implementation, and Operation of 3GPP New Radio Standards. New York, NY, USA:Academic, 2019.
- 10) J.A. Fabien, "Channel Model Implementation and Application for New Radio (NR) 3GPP REL-15", Institute for Telecommunication Sciences, 2018.
- 11) R. Hamarneh, "Analytical Calibration Scheme Suitable for Modern Mobile Communication Systems", EECS, p34, Stockholm Sweden, 2020.
- 12) M. Sierra-Pereza et al., "Integration, Measurements and Calibration of A UMTS Smart Antenna". 2004 IEEE 15th International Symposium on Personal, Indoor and Mobile Radio Communications (IEEE Cat. No.04TH8754), Sep. 2004.
- 13) Y. Tojo "Over-The-Air test of phased array antenna module of 28 GHz band", Rohde & Schwarz Technology Symposium 2024 Japan, Session 4 of Automotive and wireless related technologies,https://rohde-schwarz-japan.com/download/techsympo2024/AUT-WIC04\_rs\_techsympo2024-seminar-text.pdf
- 14) Y. Tojo, "Beam direction accuracy and 2D radiation antenna pattern measurements of 256 elements phased array", THMA5, IMS2024, Washington. D.C., U.S. (2024).
- 15) F. Ramian, "Amplifier characterization using non-CW stimulus," 2017 IEEE International Workshop on Metrology for AeroSpace (MetroAeroSpace), pp. 198-200, June, 2017, Padua, Italy.
- 16) F. Ramian, D. Tipton, "Detailed EVM, statically independent contribution to EVM," Short Tutorial Video in the R&S Amplifier Master Class Series, Munich, Germany, June 2020,

- https://www.youtube.com/watch?v=v2CatcQAm7c&list=PLKxVoO5jUTlvZVUh2Gn\_6BYZtAsQtUHAC&index=5
- 17) F. Dourado, L. Xu, "Over-the-air mmWave phased array distortion analysis and linearization testing", IWWE3, IMS2024, Washington. D.C., U.S. (2024).
- 18) F. Ramian, "Iterative Direct DPD," White Paper, Munich, Germany, Sept. 2017, http://www.rohde-schwarz.com/appnote/1EF99
  https://www.rohde-schwarz.com/jp/applications/dpd-white-paper\_230854-478144.html
- 19) S. Obernberger, S. Kehl-Waas, "Digital pre-distortion for improved EVM performance," Application Note, Munich, Germany, Aug. 2023, https://www.rohde-schwarz.com/appnote/1GP139 https://www.rohde-schwarz.com/jp/applications/digital-predistortion-for-improved-evm-performance-application-note\_56280-1401410.html
- 20) L. Xu et al., "How to measure beam switching speed why is it important and what is the necessary performance", THMA5, IMS2024, Washington. D.C., U.S. (2024).
- 21) B. Sadhu et al., "A 28GHz 32-Element Phased-Array Transceiver IC with Concurrent Dual Polarized Beams and 1.4 Degree Beam-Steering Resolution for 5G Communication", ISSCC, pp. 128-129, Feb. 2017.
- 22) J. Pang et al., "A 28-GHz CMOS Phased-Array Beamformer Utilizing Neutralized Bi-Directional Technique Supporting Dual-Polarized MIMO for 5G NR", IEEE JSSC, vol. 55, no. 9, Sep. 2020.
- 23) H. Liu et al., "A 24.25-27.5 GHz 128-element Dual-polarized 5G integrated Phased Array with 5.6%-EVM 400-MHz 64-QAM and 50-dBm EIRP", Sci China Inf Sci,vol. 65, 214401:1-3, Nov, 2022.
- 24) Y. Yin et al., "Wideband 23.5-29.5-GHz Phased Arrays for Multistandard 5G Applications and Carrier Aggregation", IEEE TMTT, vol. 69, no. 1, Jan, 2021.
- 25) S. Wang et al., "Dual-Band 28- and 39-GHz Phased Arrays for Multistandard 5G Applications", TMTT, vol. 71, no. 1, Jan, 2023.
- 26) A. Alhamed et al., "16-52 GHz 5G Transmit and Receive 64-Element Phased-Arrays With 50-51.7 dBm Peak EIRP and Multi-Gb/s 64-QAM Operation", IEEE/MTT-S, Jun, 2022.